

国鉄・鉄道技術研究所 正会員 富井 勝

1. まえがき

一般に温度上昇により軸圧力を受ける軌道の横変形については、これをモデル的に描くと図1に示す関係があるとされている。

国鉄において現在用いられている座屈理論は、座屈後の形状を解析することにより軌道構造と図の②点の極小値との関係を求め軌道の安定性を確保することを目標としたものであり、②点に相当する軸圧力を最低座屈強さと呼んでいる¹⁾。

一方、①点に相当する座屈発生軸圧力は軌道構造のほか、初期軌道狂いあるいは軌道の線形によって大きく影響されることが知られており、その定量的な解明は十分にはなされていない。

この報告は、軸圧力の増大に伴う軌道の横変形の成長過程から座屈発生に至る過程について解析するとともに、実物大軌道で座屈実験を実施した結果について報告するものである。

2. 座屈発生過程の理論解析

2.1 基本的な考え方

理論解析に際して次の条件を設けた。

(1) 軌道は直線とし、レールの初期変形は図2に示す $y_0 = \frac{C_0}{2} (1 + \cos \frac{\pi}{l} x)$ で与えられるものとする。

(2) 軸圧力の増大に伴う付加変位は $y_1 = \frac{C_1}{2} (1 + \cos \frac{\pi}{l} x)$ で与えられるものとする。

(3) 道床抵抗力 r (kgf/cm) は一定な等分布抵抗力とし、隣接領域においてのみ作用するものと考え、変形時ににおける軸圧力分布を図2のように表わす。

(4) 道床横抵抗力はまくらぎの変位に応じ $\theta = g_0 \tanh \mu y$ (kgf) とする。

(5) レール締結装置回転抵抗力は、締結毎に $T = T_0 \sqrt{\theta}$ (kgf·cm) で表わす。

以上の設定から、温度換算軸圧力 P_T (= $E A \beta + r$; kgf) における任意の付加変位量 C_1 (cm) に対して、次のエネルギーおよび仕事量が求められる。

$$(1) \text{軸歪エネルギー;} U_1 = \frac{P_T^2 l}{2 E A} - \frac{(P_T^2 - P^2) l}{2 E A} - \frac{(P_T - P)^2 (2 P + P)}{6 r E A}$$

$$(2) \text{曲げ歪エネルギー;} U_2 = \frac{\pi^4 E I C_1^2}{16 Q^3}$$

$$(3) r に対する仕事; U_3 = \frac{(P_T - P)^3}{6 r E A}$$

$$(4) y_1 に対する仕事; U_4 = \frac{g_0}{2 \mu} \log(\cosh \mu y_{1,1}) + \frac{g_0}{\mu} \sum_{i=2}^n \log(\cosh \mu y_{1,i})$$

$$(5) T に対する仕事; U_5 = \frac{2}{3} T_0 \sum_{i=2}^n \left(\frac{dy_i}{dx} \right)_i^2$$

ここで、 $y_{1,i}, \left(\frac{dy_i}{dx} \right)_i$ は中央のまくらぎ番号をもつたそれぞれのまくらぎ位置における変位あるいは回転角である。さらに、変形から求まる伸び入子 $\lambda_1 = \frac{\pi^2}{16 l^2} (C_1^2 + 2 C_0 C_1)$ と軸圧力分布から求まる伸び入子 $\lambda_2 = \frac{(P_T - P) l}{E A} + \frac{(P_T - P)^2}{2 r E A}$ が等しいことから、 $P = P_T + r l - \sqrt{r^2 l^2 + \frac{4 \pi^2 E A}{8 l} (C_1^2 + 2 C_0 C_1)}$ が得られる。

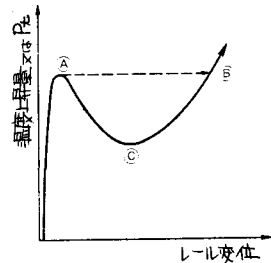


図1 温度上昇量とレール変位

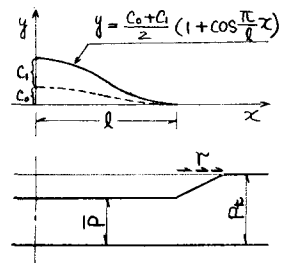


図2 レール変位と軸圧力分布

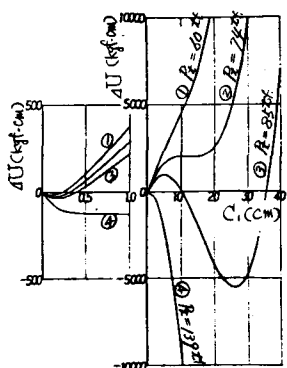


図3 付加変位とエネルギー変化

これらを用いて、それからの温度軸圧力 P_t に対して任意の付加変位 C_1 を考えた場合のエネルギーの総和 J ($= \frac{1}{2} E J_1$) を求めるにより、その変化から軸圧力と均衡変位の関係を求めることができる。

2.2 計算例

50 N レール軌道 ζ , $r = 8$ (kgf/cm), $\theta = 240 \tanh 4\theta$ (kgf), $T = 32000 \sqrt{\theta}$ (kgf·cm), まくらぎ間隔 60 cm とし, $l = 480$ (cm), $C_0 = 2$ (cm) の初期軌道狂いを考慮した場合の計算結果を図3に示す。ここで、前述の U_1 における $\frac{P_t^2 l}{2EA}$ の変位が成長しないとした場合の軸歪エネルギーであることより、これを除いた値 $4U$ ($= U - \frac{P_t^2 l}{2EA}$) により表示した。

図によれば、軸圧力の増大に伴ないITが極小値となる $1 \sim 3$ mm の微小変位が成長していくこと、 $P_t = 74$ tf では $C_1 = 15$ cm 附近に峰值が出現し、さらに軸圧力が増大するとこれが極大値と極小値に分離し、 $P_t = 139$ tf ではこの極大値が上記の微小変位における極小値と合致し、ついには消滅することが理解される。

$C_0 = 0, 1, 3$ (cm) の場合も含め、このような極値をとる変位(均衡変位)を抽出して図示したもののが図4である。

この図は、図1にモデル的に示した現象を具体的に示している。また、図1の①点に相当する値は $70 \sim 80$ tf の範囲にあり、初期軌道狂いの値によってそれほど影響されないに対し、④点に相当する値は $C_0 = 3$ cm の場合に約 100 tf, $C_0 = 2$ cm の場合に約 140 tf であり、 $C_0 = 1$ cm では 200 tf 以上となり、 $C_0 = 0$ cm では無限大になる。というように、初期軌道狂いの影響が大きいことを示している。

3. 実物軌道座屈実験

座屈実験は国鉄・鉄道技術研究所の構内に設けられた延長 65 m の实物軌道座屈実験装置により実施した。

試験はまくらぎ間隔 58 cm の 50 N レール・PC 3号まくらぎ軌道に $l = 522$ cm, $C_0 = 3.0$ cm の前記の形状の初期軌道狂いを設定して、3回実施した。試験結果を図5に示す。それぞれの座屈発生時ににおける温度換算軸圧力は 114 tf, 87 tf, 105 tf であった。

また、別に実施した試験により明らかになった試験軌道の特性値 ($\theta = 190 \tanh 2\theta$, $T = 32000 \sqrt{\theta}$) を用いて前述の手法により解析した結果を同図に破線で示す。なお、 $r = 8$ kgf/cm とした。

実験値と理論値を比較すると、理論値では座屈発生軸圧力が 86 tf と求められたのにに対し、実験値はいずれもこれより大きな値となっている点と、初期の変位の増大が実験では少ない点が異なる。この理由としては、理論計算では軌道の初期狂いをレールくせによるとしてそのに対し、実験ではこれを弾性的に生じさせたことと直角横抵抗力等座屈阻止抵抗力の実態が理論式におけるものと異なっていることが考えられるが、ここに述べた理論計算値は安全側に立つている。

4. あとがき

以上の解析により、軌道の座屈発生過程の追跡の可能性とともに、今後の解析におけるポイントが明らかにされたものと考える。

参考文献 1) 沢田東「ロング・レールの座屈強さ」 鉄研報告 No. 721, 1970年8月.

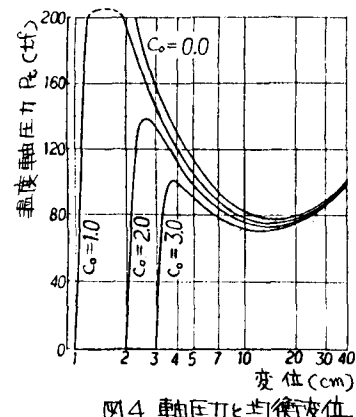


図4 軸圧力と均衡変位

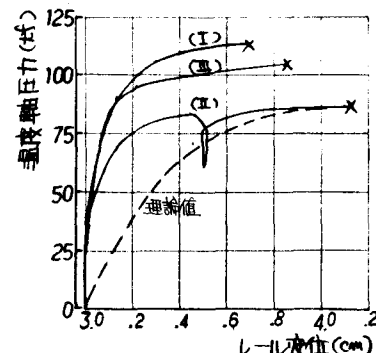


図5 実験値と理論値の比較